

точкам, характеризующим максимальные изменения давления (для нахождения ударных волн) и температуры торможения (для нахождения контактных разрывов).

Анализ численного решения подтверждает основные качественные свойства, установленные выше и в [6, 7], а именно:

1) звуковая линия, отделяющая область дозвуковых скоростей за отошедшей ударной волной, попадает в точку  $A$ .

2) в точке  $A$  звуковая линия ортогональна вектору скорости за ударной волной. В угловой точке на теле звуковая линия ортогональна «дозвуковому» направлению касательной к телу;

3) на звуковой линии существует точка  $K_+$  выпуклости звуковой линии по отношению к ортогональным траекториям линий тока;

4) углы между касательными к контактному разрыву, полученные в расчетах, хорошо согласуются с результатами аналитического исследования (расчетные точки на фиг. 4 отмечены крестиками).

Поступила 26 III 1973

#### ЛИТЕРАТУРА

1. Еремин В. В., Липницкий Ю. М. Разностная схема 3-го порядка точности для расчета двумерных течений с контактными разрывом. Научн. тр. Ин-та механ. МГУ, 1972, № 19.
2. Ландау Л. Д., Лифшиц Е. М. Механика сплошных сред. М., Гостехиздат, 1954.
3. Мизес Р. Математическая теория течений сжимаемой жидкости. М., Изд-во иностр. лит., 1961.
4. Гудерлей К. Г. Теория околосвуковых течений. М., Изд-во иностр. лит., 1960.
5. Никольский А. А., Таганов Г. И. Движение газа в местной сверхзвуковой зоне и некоторые условия разрушения потенциального течения. ПИММ, 1946, т. 10, вып. 4.
6. Шифрин Э. Г. К задаче обтекания бесконечного клина сверхзвуковой струей. Изв. АН СССР, МЖГ, 1969, № 2.
7. Шифрин Э. Г. К задаче обтекания профиля равномерной сверхзвуковой струей. Изв. АН СССР, МЖГ, 1972, № 4.

УДК 533.6.011.34

### ТОНКОЕ ТЕЛО В ОГРАНИЧЕННОМ ДОЗВУКОВОМ ПОТОКЕ ГАЗА

В. И. ХОЛЯККО

(Харьков)

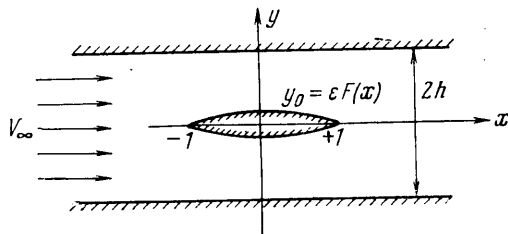
Рассматривается обтекание под нулевым углом атаки тонкого тела (симметричный профиль и тело вращения) установившимся невязким дозвуковым потоком газа, ограниченного твердой стенкой или свободной поверхностью. Решение задач ведется интегральным методом Фурье. Получены соотношения для тел с произвольным контуром и формой боковой поверхности и установлены асимптотические формулы для оценки предельных случаев течения. Проводится анализ влияния границ потока и эффекта сжимаемости на характеристики течения.

1. Расчет характеристик течения состоит в решении линеаризованного уравнения газовой динамики для потенциала скорости возмущений

$$(1.1) \quad \beta^2 \varphi_{xx} + \varphi_{yy} + (j/y) \varphi_y = 0, \\ \beta^2 = 1 - M_\infty^2$$

при граничном условии на поверхности тела

$$(1.2) \quad \varphi_y = v_\infty \varepsilon F'(x), \\ y = y_0 = \varepsilon F(x), \quad -1 \leq x \leq 1$$



где  $\varepsilon$  — относительная толщина тела ( $\varepsilon \ll 1$ ), и одном из условий на внешней границе потока, отвечающем либо твердой стенке, либо свободной поверхности

$$(1.3) \quad \varphi_y = 0, \quad \varphi_x = 0 \quad (y = h)$$

В уравнении (1.1) значение  $j=0$  относится к плоскому течению и  $j=1$  — к осесимметричному. Геометрия рассматриваемого течения показана на фигуре. Все линейные размеры отнесены к половине длины тела.

Представим функцию  $F'(x)$  в виде интеграла Фурье

$$F'(x) = \frac{1}{\pi} \int_0^{\infty} d\lambda \int_{-\infty}^{\infty} F'(\xi) \cos \lambda(\xi-x) d\xi$$

Тогда граничное условие (1.2) запишется в следующем виде:

$$(1.4) \quad \varphi_y = \frac{v_{\infty} \varepsilon}{\pi} \int_0^{\infty} d\lambda \int_{-\infty}^{\infty} F'(\xi) \cos \lambda(\xi-x) d\xi$$

В плоском потоке ( $j=0$ ) это граничное условие, заданное на поверхности тела  $y=y_0$ , можно снести на ось  $y=0$ . Кроме того, в плоской задаче достаточно ограничиться изучением верхней половины течения  $0 \leq y \leq h$ .

Общее решение уравнения (1.1) с соответствующими краевыми условиями построим методом суперпозиций частных решений. Ниже подробно разобран случай обтекания профиля в канале с твердыми стенками. Для задач о профиле в потоке со свободными границами и теле вращения в цилиндрическом канале выписаны конечные результаты.

2. Разделяя переменные и учитывая первое условие (1.3), получим частные решения уравнения (1.1) при  $j=0$

$$\varphi_n(x, y) = A_n \operatorname{ch} n\beta(h-y) \cos n(\xi_n-x)$$

Просуммируем все бесконечное количество этих частных решений, полагая  $n=\lambda$ ,  $\xi_n=\xi$ ,  $A_n=f_1(\lambda)f_2(\xi) d\lambda d\xi$  для  $0 \leq \lambda < \infty$ ,  $-\infty \leq \xi < \infty$

$$(2.1) \quad \varphi(x, y) = \int_0^{\infty} f_1(\lambda) \operatorname{ch} \lambda\beta(h-y) d\lambda \int_{-\infty}^{\infty} f_2(\xi) \cos \lambda(\xi-x) d\xi$$

Решение (2.1) содержит две произвольные функции ( $f_1(\lambda)$  и  $f_2(\xi)$ ), которые определяются из граничного условия (1.4). Сравнивая производную (2.1) по  $y$  при  $y=0$  с условием (1.4), устанавливаем, что

$$f_1(\lambda) = \frac{1}{\operatorname{sh} \lambda\beta h}, \quad f_2(\xi) = -\frac{v_{\infty} \varepsilon}{\pi\beta} F'(\xi)$$

После подстановки этих значений  $f_1(\lambda)$  и  $f_2(\xi)$  в (2.1) и соответствующих преобразований (при этом предполагается, что можно менять порядок интегрирования) получим решение задачи обтекания тонкого профиля в канале с твердыми стенками

$$(2.2) \quad \varphi(x, y) = \frac{v_{\infty} \varepsilon}{\pi} \int_{-\infty}^{\infty} F'(\xi) \ln \left[ \operatorname{ch} \frac{\pi(\xi-x)}{\beta h} - \cos \frac{\pi y}{h} \right] d\xi$$

В формуле (2.2) интегрирование можно проводить на конечном отрезке  $-1 \leq \xi \leq 1$ . Для определения коэффициента давления воспользуемся линеаризованным уравнением Бернулли  $c_p = -2\varphi_x/v_{\infty}$ . В частности, на поверхности профиля ( $y=0$ ) будем иметь

$$(2.3) \quad c_p = \frac{\varepsilon}{\beta^2 h} \int_{-\infty}^{\infty} F'(\xi) \operatorname{cth} \frac{\pi(\xi-x)}{2\beta h} d\xi$$

Если в формулах (2.2) и (2.3) положить  $h=\infty$ , то получим решение задачи обтекания профиля безграничным потоком

$$(2.4) \quad \varphi_{\infty}(x, y) = \frac{v_{\infty} \varepsilon}{2\pi\beta} \int_{-\infty}^{\infty} F'(\xi) \ln [(\xi-x)^2 + \beta^2 y^2] d\xi, \quad c_{p\infty} = \frac{2\varepsilon}{\pi\beta} \int_{-\infty}^{\infty} \frac{F'(\xi) d\xi}{\xi-x}$$

Оценим влияние граници потока на распределение давления по профилю для случая  $h \gg 1$ . Если ограничиться первыми двумя членами разложения в гиперболическом

котангенсе формулы (2.3), то получим

$$(2.5) \quad c_p = c_{p\infty} + \frac{\pi\varepsilon}{6\beta^3 h^2} \int_{-\infty}^{\infty} F'(\xi) (\xi-x) d\xi = c_{p\infty} - \frac{\pi\omega}{12\beta^3 h^2}, \quad \omega = 2\varepsilon \int_{-1}^1 F(\xi) d\xi$$

где  $\omega$  — площадь сечения профиля. Последнее равенство в (2.5) справедливо при  $F(-1) = F(1) = 0$ .

Согласно (2.5) асимптотическая добавка к давлению на поверхности профиля от влияния границ потока пропорциональна  $\beta^{-3}h^{-2}$  и является постоянной по длине хорды.

3. Решение задачи обтекания профиля для случая, когда границей течения является свободная поверхность, ведется аналогично изложенному выше с использованием второго условия (1.3). Приведем некоторые конечные результаты.

Потенциал скорости возмущений и распределение давления по поверхности профиля определяются следующим образом:

$$(3.1) \quad \varphi(x, y) = -\frac{v_{\infty}\varepsilon}{2\pi\beta} \int_{-\infty}^{\infty} F'(\xi) \ln \frac{\operatorname{ch} \xi' + \cos y'}{\operatorname{ch} \xi' - \cos y'} d\xi$$

$$c_p = \frac{\varepsilon}{\beta^2 h} \int_{-\infty}^{\infty} F'(\xi) \operatorname{csch} \xi' d\xi \quad \left( \xi' = \frac{\pi(\xi-x)}{2\beta h}, \quad y' = \frac{\pi y}{2h} \right)$$

При  $h \gg 1$  с учетом первых двух членов разложения в гиперболическом косекансе из (3.1) получаем

$$(3.2) \quad c_p = c_{p\infty} + \pi\omega/24\beta^3 h^2$$

Согласно (3.2) асимптотическая добавка к давлению на профиле в потоке со свободной поверхностью в 2 раза меньше по абсолютному значению, чем в канале с твердыми стенками.

4. Общее решение задачи обтекания тела вращения в цилиндрической трубе записывается в следующем виде:

$$(4.1) \quad \varphi(x, r) = -\frac{v_{\infty}\varepsilon}{\pi\beta} \int_{-\infty}^{\infty} F'(\xi) d\xi \int_0^{\infty} \frac{I_n(\lambda\beta h) K_0(\lambda\beta r) \pm I_0(\lambda\beta r) K_n(\lambda\beta h)}{I_n(\lambda\beta h) K_1(\lambda\beta r_0) \mp I_1(\lambda\beta r_0) K_n(\lambda\beta h)} \times$$

$$\times \cos \lambda(\xi-x) \frac{d\lambda}{\lambda}$$

где  $I$  и  $K$  — модифицированные функции Бесселя первого и второго рода соответственно; верхние знаки и значение индекса  $n=1$  относятся к задаче с твердыми стенками, а нижние знаки и  $n=0$  — к задаче со свободной поверхностью. Здесь введены общепринятые обозначения цилиндрических координат с заменой  $y$  на  $r$ . Предельный случай тонкого тела в ограниченном потоке получается из (4.1) при  $r_0 \rightarrow 0$

$$(4.2) \quad \varphi(x, r) = \varphi_{\infty}(x, r) \mp \frac{v_{\infty}}{2\pi^2} \int_{-\infty}^{\infty} S'(\xi) d\xi \int_0^{\infty} \frac{K_n(\lambda\beta h)}{I_n(\lambda\beta h)} I_0(\lambda\beta r) \cos \lambda(\xi-x) d\lambda$$

$$\varphi_{\infty}(x, r) = -\frac{v_{\infty}}{4\pi} \int_{-\infty}^{\infty} \frac{S'(\xi) d\xi}{[(\xi-x)^2 + \beta^2 r^2]^{1/2}}, \quad S(\xi) = \pi r_0^2 = \pi \varepsilon^2 F^2(\xi)$$

где  $S(\xi)$  — площадь поперечного сечения тела, а  $\varphi_{\infty}(x, r)$  — решение задачи обтекания тонкого тела вращения безграничным потоком (оно может быть получено из (4.1) при  $h = \infty, r_0 \rightarrow 0$ ).

Если дополнительно принять  $h \gg 1$ , то из (4.2) следует выражение, справедливое в окрестности тела

$$(4.3) \quad \varphi(x, r) = \varphi_{\infty}(x, r) \mp \frac{v_{\infty}\beta h}{\pi} \int_{-\infty}^{\infty} \frac{S'(\xi) d\xi}{(\xi-x)^2 + 4\beta^2 h^2} + O(r^2)$$

В этом случае распределение давления по поверхности тела вращения определяется следующим образом:

$$(4.4) \quad c_p = c_{p\infty} \pm \frac{4\beta h}{\pi} \int_{-\infty}^{\infty} \frac{S'(\xi)(\xi-x)d\xi}{[(\xi-x)^2 + 4\beta^2 h^2]^2}$$

или если пренебречь первым слагаемым в знаменателе, т. е. иметь в виду, что  $4\beta^2 h^2 \gg (\xi-x)^2$ , то получим

$$(4.5) \quad c_p = c_{p\infty} \mp \frac{\tau}{4\pi\beta^3 h^3}, \quad \tau = \int_{-1}^1 S(\xi) d\xi$$

где  $\tau$  — объем тела вращения.

В формулах (4.2) — (4.5) верхние знаки относятся к случаю твердых стенок, а нижние — к свободной границе.

Поступила 25 IV 1972

УДК 533.6.011

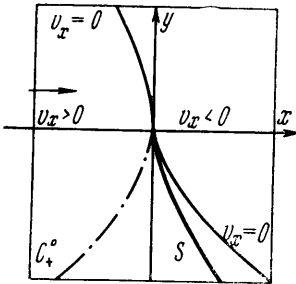
## УСЛОВИЯ СУЩЕСТВОВАНИЯ ОДНОГО ТИПА ОКОЛОЗВУКОВЫХ АВТОМОДЕЛЬНЫХ ТЕЧЕНИЙ С УДАРНОЙ ВОЛНОЙ

А. П. ЦВЕТКОВ

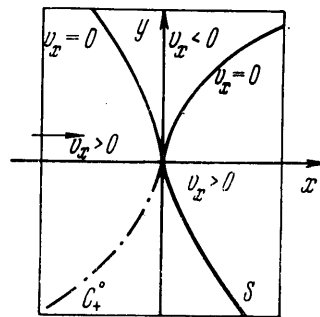
(Саратов)

В работе рассматривается вопрос о характере поведения околосзвукового потока в окрестности точки встречи звуковой линии и ударной волны.

Изучаются автомодельные околосзвуковые течения, в которых проходящий вдоль предельной характеристики разрыв производных (конечный разрыв первых или бесконечный разрыв вторых) компонент вектора скорости по координатам отражается



Фиг. 1



Фиг. 2

в виде ударной волны (фиг. 1, 2). Рассмотрение ведется при наличии только одной предельной характеристики в области сверхзвуковых скоростей.

В [1] были рассчитаны два примера течений вида, изображенного на фиг. 1, соответствующие значениям показателя автомодельности  $n=3/2$ ,  $17/12$ . Кроме того было найдено необходимое условие ( $7/3 < n < 5/3$ ) существования рассматриваемых течений.

В [2, 3] подобные течения изучались, когда приходящая вдоль предельной характеристики особенность была конечным разрывом первых производных компонент вектора скорости по координатам ( $1.4 < n < 1.5$ ). Значение  $n=1.40225$  характеризуется использованием для построения течения в области между предельной характеристикой и ударной волной решения типа простой волны.

Ниже указаны условия, необходимые и достаточные для существования течений видов, представленных на фиг. 1, 2. Поскольку изучение течений вида, изображенного на фиг. 2, проводится впервые, то интервал Жермена по  $n$  расширенный